原著

流血中の赤血球分布に関する compartment analysis —とくに血液希釈の影響—

矢野博文* 高折益彦* 鍵山光庸** 吉田 仁* 福井 明* 福富 悌*

要旨

流血中での 赤血球分布に関して compartment analysis を行い, 血液希釈ならびに摘脾の赤血球 分布に対する影響を観察し、(1) 生理的条件下に おける循環赤血球の分布に関しては3個の compartment が存在することがみとめられ、 脾臓は その第2番目の compartment を構成している ことがみとめられた. (2) 血液希釈 それ 自身は compartment 数を変化させることがなかったが, 脾臓が存在する状態下では血液希釈は第1番目の compartment を拡大した. (3) 血液希釈は脾臓の 有無にかかわらず流血中における赤血球混合を低 下させた. (4) 脾臓が存在する状態下では 血液希 釈後において肝静脈、門脈および腎静脈血のヘマ トクリット値が比較的高値に保たれた. これらの 結果から血液希釈は赤血球の急速循環領域を拡大 せしめ、血流中の赤血球混合速度はむしろ低下さ せ、そしてそれに脾臓がかなりの割合で関与して いることがみとめられた.

はじめに

血液希釈性自己輸血は実地外科手術時の同種血の輸血回避の手段として用いられている^{1,2)}. こ

の血液希釈は血液粘度を低下させ³⁾, 心拍出量を 増加させる⁴⁾ とともに血流速度も上昇させる。ま たショック時に発生する循環赤血球の血管内不均 等分布を改善する効果もみとめられている⁵⁾.

さてこのような血液希釈性自己輸血を施行した 後に急速な血液希釈状態からの回復をみたり, 予 想せざる組織酸素分圧の維持が存続することをみ とめることがある1). これらは血液希釈によって 血流量や血液粘度が変化し、それにともなって循 環系での血流分布が変化して赤血球が速やかに循 環する領域が拡大したり、緩徐に循環する領域が 縮小したりするためではないかと考えられる。す なわち循環系には赤血球が血管中で速やかに循環 する領域と緩徐に循環する領域が存在するといわ れるが, これらの領域間の比率は血流量, 血流速 度,血液粘度,自律神経系の緊張度などの変化に 応じて複雑に変化するものと考えられ、血液希釈 という生体への侵襲もこのような循環速度の異な る脈管領域間の比率を変化させ赤血球が速やかに 循環する領域を拡大させるのではないかと予想さ れる. そしてその結果, 血液希釈性自己輸血後に 上記のような現象を生じさせるのではないかと推 測される. われわれはこのような予想を立証する ために, そしてその際, 脾臓がそれに対していか なる影響を及ぼすかということを研究する目的で 以下の実験を行った.

^{*}川崎医科大学麻酔科

^{**}同 上 コンピューターセンター

方 法

10~13kg の雑種成犬13頭を対象とした. 麻酔は25mg/kg の pentobarbital 静脈内投与により導入, 気管内挿管を行い, 酸素 2l/分, 笑気4l/分の混合ガスを用いて維持を行った. そしてアイカ社製ベンチレーター R60 を用いて1回換気量15 ml/kg, 呼吸回数12回/分にて調節呼吸を行った. 右頸動, 静脈を露出しそれぞれにカテーテルを挿入した. そして頸動脈へ挿入したカテーテルを介し動脈血圧を, 頸静脈から挿入したカテーテルは先端を右房まで進め, 右房圧を連続的に測定した. その他, 心電図, 体温, 経尿道的導尿による尿量も測定した. 動脈血液ガス分析は適時行い動脈血炭酸ガス分圧の異常変動を監視するとともに代謝性アシドーシスが認められた時には7%重炭酸ナトリウムを用いて補正した.

動物を2群にわけ、1群(7頭)は対照群として開腹術のみ(sham operation)を行い後述する脾臓摘出術に要する時間だけ放置した後に閉腹した。他の1群(6頭)は摘脾群として対照群と同様に開腹した後、脾臓摘出術を行った。次いで呼吸・循環状態が安定したと思われた時点で動脈血圧、右房圧および心拍数を記録した。

それぞれの動物より8mlの血液を採取し、一定量の赤血球に 99m Tc (1mCi) を * ドリ十字社テクネシウム- 99m ・赤血球・キット®を用いて標識した。この 99m Tc-標識赤血球をカテーテルを通して右房より注入し、注入後の 2 , 4 , 6 , 8 , 10 , 13 , 16 , 20 , 25 , 30 , 35 , 40 , 50 分目の 13 回にわたり頸動脈より採血を行った。そしてその 13 検体それぞれについて 1 1 1 1 1 2 $^{$

ここで 10 ml/kg の脱血,同量の6%デキストラン70の注入による血液希釈を2回くり返し,これを第1回血液希釈とした.そして20分間放置し,前回同様,99 m Tc- 標識赤血球注入,上記13回の経時的採血を行った.そしてその検体についての比放射能ならびにヘマトクリット値の測定を行った.その後さらに前回と同様の2回の血液希釈を

追加した. そしてこれを第2回血液希釈とした. この時点で再び前回同様、99m Tc- 標識赤血球を 注入し13回の採血を行った後、それぞれの検体に ついてその比放射能, ヘマトクリット値を測定し た. 経時的採血をした各血液のヘマトクリット値 にはわずかながら変動がみられたので、標識赤血 球注入後2分目に採取した血液を基準にそれぞれ の検体へマトクリット値をもってその血液の比放 射能値を補正した. そして標識赤血球の大血管 (頸動脈) 系内での濃度変化をもとめるためにこ れらの比放射能値をそれぞれの採血時間に応じて 片対数目盛にプロットし, 動脈血中の標識赤血球 の濃度変化からそれらの血管内分布を観察した. この曲線 (mixing curve) は多項単純指数関数 であると仮定し、information criterion⁶⁾ によっ て分析することにより血管内赤血球分布領域数 (compartment数) を推測した、そしてそれに応 じて非線形近似法7)により赤血球の血管内分布近 似方程式を算出した. 最後にこの算出した近似方 程式をそれぞれの実験値に当てはめ、標識赤血球 血管内均一分布濃度を 0 時点挿外法によりもとめ (後述の近似方程式における係数 A₃), これと注 入した一定量の標識赤血球比放射能とから循環血 液量を算出した.

以上の全操作終了後、対照群・摘牌群とも再び 開腹し直接血管穿刺により大腿静脈、肝静脈、門 脈、腎静脈および頸動脈より一定量の血液を採取 しそれぞれについてヘマトクリット値を測定した。 統計処理はセーテスト、ならびに paired t テスト を用いて行った。

結 果

対照群における平均動脈圧は血液希釈前,第 1 回および第 2 回血液希釈後の各時期においてそれぞれ 144 ± 24 mmHg, 143 ± 24 , 137 ± 13 であった.心拍数はそれぞれ 201 ± 18 回/分, 184 ± 28 , 195 ± 28 であり,平均右房圧はそれぞれ 1.3 ± 1.6 mmHg, 1.0 ± 1.9 , 1.1 ± 2.1 であった.一方摘牌群における平均動脈圧は上記の各時期においてそれぞれ 133 ± 17 mmHg, 133 ± 8 , 122 ± 15 であった.心拍数はそれぞれ 186 ± 29 回/分, 191 ± 39 , 202 ± 31 であり,平均右房圧はそれぞれ -1.0 ± 1.5 mmHg, 0 ± 1.7 , -0.4 ± 1.6 であったが,平均動脈圧,心

拍数および平均右房圧に関し、いずれも各群、各時期間の有意な差はみとめなかった。すべての手術操作終了後における動脈血液ガス分析の結果は対照群では Pao_2 が 141.9 ± 26.9 mmHg $Paco_2$ が 28.7 ± 3.9 ,pH が 7.429 ± 0.027 であった。摘牌群での各測定値はそれぞれ 134.4 ± 20.0 , 27.6 ± 3.0 , 7.422 ± 0.082 で対照群と摘牌群の間に有意な差はみとめなかった。

対照群ならびに摘脾群における血液希釈前,第 1回および第 2回血液希釈時それぞれについての標識赤血球の血管内分布にともなう動脈血中濃度変化は図 1 および 2 のごとくである。さらにこれらのデータの information criterion による分画分析の結果,対照群では血液希釈前の AIC (An Information Criterion) 値は n=1 で377,n=2 で362,n=3 で361,n=4 で364,n=5 で369 であってn=3 で最小値を示した。第 1 回血液希釈後の AIC 値はn=1 で408,n=2 で395,n=3 で383,n=4 で388,n=5 で391 であり,さらに第 2 回血液希釈後の AIC 値はn=1 で474,n=2 で469,n=3 で457,n=4 で460,n=5 で 465 でいずれもn=3 で

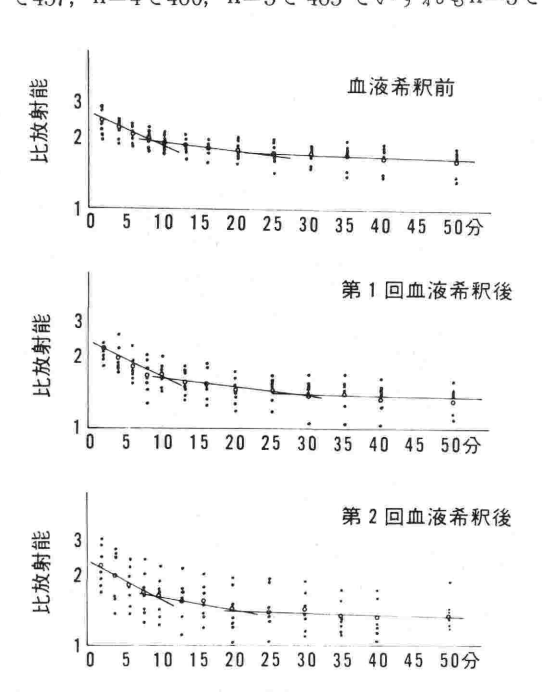


図 1. 対照群における血流希釈前後の頸動脈血比放 射能の経時的変化

図中に引かれている直線は infomation criterion によって得られた compartment 数に応じ、 各測 定時期の平均値を用手的に結んで引いた.

最小値を示した. すなわち対照群では3個の compartment が存在し、血液希釈による compartment 数の変化はないと判定された. 一方摘牌群では血液希釈前の AIC 値は n=1 で 231, n=2 で 227, n=3で 235, n=4で 240, n=5で 244 であってn=2で最小値を示した. 第1回血液希釈後の AIC 値は n=1で 301, n=2で 296, n=3で 298, n=4で 303, n=5で 307であり、さらに第2回血液希釈後の AIC 値はn=1で224, n=2で 222, n=3で 227, n=4で 231, n=5で 234でいずれも n=2で最小値を示した. すなわち、摘牌群では2個の compartment が存在し、対照群と同様に血液希釈による compartment 数の変化はないと判定された.

以上の結果をもとに作製した標識赤血球血管内分布近似方程式 $A_1e^{-\lambda_1t}+A_2e^{-\lambda_2t}+A_3e^{-\lambda_3t}$ の A_1 , A_2 , A_3 および λ_1 , λ_2 , λ_3 はそれぞれ表1のごとくであった。 すなわち,摘脾群には A_2 および λ_2 に相当すると思われる係数がえられず A_1 , λ_1 および A_3 , λ_3 に相当するものがえられた.

対照群において 0 時点における標識赤血球の血

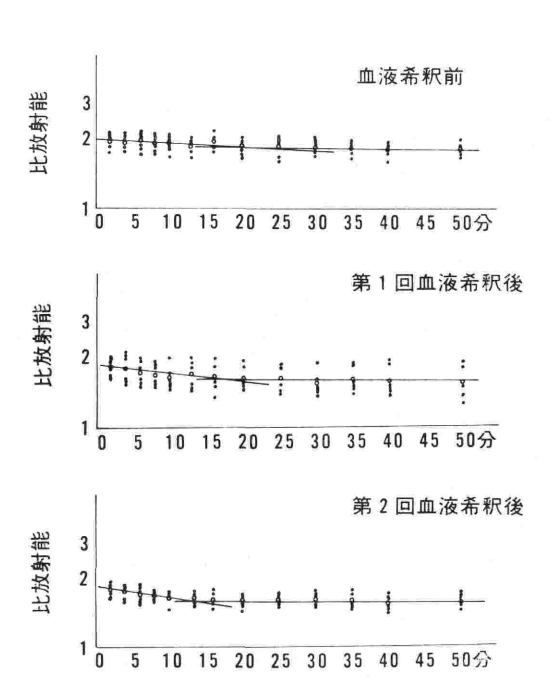


図 2. 摘脾群における血液希釈前後の頸動脈血比放 射能の経時的変化

図中に引かれている直線は information criterion によって得られた compartment 数に応じ、各測定時期の平均値を用手的に結んで引いた。

近似方程式	対	照	Ę.	群	摘		卑	群
	$y = A_1 e^{-\lambda_1 t} + A_2 e^{-\lambda_2 t} + A_3 e^{-\lambda_3 t}$				$y = A_1 e^{-\lambda_1 t} + A_3 e^{-\lambda_3 t}$			
	A_1	A_2	A_3	$A_1 + A_2 + A_3$	A_1	A_2	A_3	$A_1 + A_3$
血液希釈前	33. 244	4. 016	19. 259	56. 519	16. 439	_	20. 904	37. 343
第1回血液希釈後	22.934	5.489	15. 211	43.634	37. 166	-	16. 111	53. 277
第2回血液希积後	14.277	9.883	12.739	36. 899	23.820	_	17.509	41.329
	λ_1	λ_2		λ_3	λ_1	λ_2		λ_3
血液希釈前	2. 757	0. 55	55 0.	265×10^{-2}	2. 439		0. 2	22×10^{-2}
第1回血液希釈後	2. 237	0. 13	33 0.	108×10^{-2}	1.561	_	0.2	15×10^{-2}
第2回血液希釈後	1.664	0. 16	35 O.	376×10^{-2}	1.816	_	0. 2	31×10^{-2}

表 1. 非線形近似法による赤血球血管内分布近似方程式の各係数

血液希釈前および第2回血液希釈後の各部位での血液へマトクリット値

			対	照 群	摘	脾	群	
			血液希釈前	第2回血液希釈	後 血液希釈前	第2回血液	希釈後	
頸	動	脈	41. 1±6. 0%	17.8±2.9%	44.8±4.3%	14.8±4.8	3%	
大	腿静	脈		19.5±2.3		15.2±5.4	Į.	
肝	静	脈	_	23. 6 ± 2 . $7*$	_	14.6 ± 5.0)	
門		脈	_	25. 1 ± 4 . $4*$		14. 4 ± 4 . 6	5	
腎	静	脈	-	23. $0 \pm 3.0**$		15. 1 ± 5 . 5	5	

平均值士標準偏差

頸動脈血に比し *P<0.01 **0.01<P<0.05

管内分布濃度と考えることのできる A₁+A₂+A₃ の値は血液希釈の進行とともに低値となった. し かしその中にあって係数 A₂ は血液希釈の進行に 伴ってやや低下している. しかし係数 A₁ の低下 がもっとも著しくこの $A_1+A_2+A_3$ の低下はお もに A_1 の低下に起因するものであった。これに 反し摘脾群ではこのような変化はみとめられなか った。

一方係数λ値についてみると両群とも血液希釈 の進行とともに減少した. すなわち, 標識赤血球 混合時間の延長を示した (表1).

循環血液量は対照群では血液希釈前71.7±15.0 ml/kg, 第1回血液希积後95.8±16.8, 第2回血 液希釈後 103.6 ± 22.5 であった. 一方摘脾群では 79.0 ± 6.7 , $80.6\pm$ 12.2 と増加した. すなわち, 血液希釈前に 比し て第1回血液希釈後では対照群で1.3倍に、摘脾 群で1.2倍に増加した(ずれもp<0.01). さらに 血液希釈前と第2回血液希釈後のものを比較する と、対照群では血液希釈によって血液量が1.4倍

に、摘脾群では1.3倍に増加した(いずれもp< 0.01).

第2回血液希釈後の大腿静脈, 肝静脈, 門脈, 腎静脈および頸動脈血のヘマトクリット値は表2 に示すごとく対照群では血液希釈後でも肝静脈血 23.6±2.7%, 門脈血25.1±4.4, 腎静脈血23.0± 3.0と頸動脈血の17.8±2.9に比較してヘマトクリ ット値が有意に高く保たれていた(肝静脈、門脈 血ではp<0.01, 腎静脈血では0.01<p<0.05). しかし大腿静脈血では有意差はみとめられなかっ た. 一方, 摘脾群のヘマトクリット値はすべての 部位で有意な差はみとめられなかった(表2).

実験中の輸液は対照群が 625±173ml, 摘脾群 が 605±181ml, 尿量はそれぞれ 123±75ml, 108 ±44ml であってそれぞれ 両群に 差はみとめられ なかった.

老 夏又

開腹術のみを行った対照群における赤血球血管 内分布近似方程式でその時定数の大きさから第1

項は「速やかに循環する血管領域における標識赤血球の分布」を、また第2項は「やや緩徐に循環する血管領域の分布」、第3項は「緩徐に循環する血管領域の分布」を示していると考えられる。この3項より成る対照群の分布近似方程式に対して、摘脾群では information criterion による compartment 解析に示されるごとく2個の compartment であると仮定され、対照群の第2項に相当する項はそのAおよび λ の値の異なりからも方程式中に存在せず、表1に示した方程式と仮定するのが、もっとも妥当なものと考えられた。すなわち、この第2項で表現される「やや緩徐に循環する血管領域」は脾臓がその主役を演じていたことが想像された。

第1項で表現される「速やかに循環する血管領 域」での係数 A₁ が対照群では血液希釈の進行と ともに低下していることより,この領域が血液希 釈の進行とともに拡大していると判定しうる. し かし摘脾群においては,血液希釈にともなう領域 の変化には対照群と同様の傾向はみとめられなか った. このことは対照群における「速やかに循環 する血管領域」の拡大に対しても脾臓が関与して いることを示している. Carmeiro, Donald®) は イヌにおいて 9ml/kg の脱血を行い脾臓の出血に 対する赤血球リザバーとしての機能についての研 究を行っているが、この際脱血量の35%の量的な 補充が脾臓によりなされることをみとめている. Donald, Aarhus⁹⁾ は脾臓への交感神経を刺激す ると脾臓から脾静脈への血液放出が数倍に増加し, しかもその放出血液のヘマトクリット値は著しく 高値になることを報告している. またCilento ら10) は脱血し、貧血状態に陥ったラットの脾臓にお いては比較的緩徐に血液が流れる赤脾髄(red pulp) への血流が減少し赤脾髄を通過せずに速や かに脾臓を流出する血液が増加するとこをみとめ ている. このような出血と同様に血液希釈は脾臓 から高濃度の赤血球を「速やかに循環する血管領 域」に放出するとともに、その脾臓の一部は急速 循環領域に組み入れられることになり、急速循環 領域の拡大をもたらすものと思われた. すなわち, 血液希釈が発生するとそれに対応すべく準備され ていた「やや緩徐に循環する血管領域」の一部が, とくに脾臓内循環の一部において「速やかに循環

する血管領域」に組み入れられることが示された.

この脾臓の循環領域への動員以後、どのような臓器が循環領域へ動員されてゆくのか、すなわちより緩徐に循環する領域はどこであるかという点については本研究の論議外にあるが、おそらくいずれかの臓器の微細な血管がそれにあたるのであろう。全身諸臓器における微細血管の分布密度を量的に検索することは非常に困難であり、未だ不明な点が多い。Carneiro、Donald®によると肝臓や腸管も脾臓同様の赤血球リザバーとしての機能を有しており、これらの臓器が脾臓の循環領域への動員以後動員されてゆくことは想像され、さらに皮膚、筋肉、骨、軟骨などの組織微細血管も緩徐に循環する領域であろうと推測される。

赤血球の血流中混合速度は予想に反して血液希 釈によってむしろ低下した. 「速やかに循環する 領域」の拡大に脾臓が関与したことがこの領域に おける容量の絶対的増大とともにこの領域における 赤血球の分布, 拡散を絶対的に遅延させている ように思われた. すなわち, 脾臓が存在する対照 群においては血液希釈が進行し, それに伴って脾臓が急速循環系に動員されるほど標識赤血球の血 流中混合速度を表現する係数 λ の値は小さくなっている. 一方摘脾群でもその低下の程度はやや少ないが係数 λ の値は小さくなってゆく. すなわち 脾臓が「速やかに循環する領域」に組み入れられること以外に赤血球の分布, 拡散に関与している 部位が存在することを示すものと思われた.

標識赤血球混合速度の低下はこのような因子とともに血管内における血流成分層別流の変化も関係するのではないかと考えられる。血流希釈やそれに伴う血流量の増大によって本来あまり赤血球が流れなかった血管壁近くの緩徐な血流に赤血球が加わり、それが赤血球の血流中混合速度の遅延の一因となっているとも考えられた。

一方,血流希釈に使用したデキストランそのものの赤血球凝集作用が標識赤血球の他の赤血球への混合を遅延させた原因とも考えられる。本実験で使用した分子量が70×10⁸程度のものであると血漿の約5倍程度に赤血球凝集を起こしやすいといわれる¹¹⁾.すなわち,このようなデキストラン70の赤血球凝集作用により標識赤血球が凝集して循環系に分布する場合,見かけ上,混合速度が低

下を示すような結果も導入するであろう.

本研究中測定された血液量は血液希釈によって対照群では1.4倍に、摘脾群でも1.3倍に増加した。これは使用したデキストラン液の膠質浸透圧により組織液が血管内へ移動したための血漿量の増大が主役を演じているものであろう12).

脾臓内に貯えられていて正常時には循環から隔離されていた赤血球が動員され、それが循環血液量増加の一部を担っていたか否かは十分に断定できないが、対照群すなわち、脾臓の存在する場合は血液希釈に伴う循環血液量の増加が著しく、おそらく上記赤血球の放出を伴っていたものと思われる.

脾臓の存在する対照群において, 門脈血のヘマ トクリット値が第2回血液希釈後も有意に高く保 たれていたことは上述の脾臓の赤血球リザバーと しての機能によるものと考えられる. 肝静脈血に ついては肝臓が門脈を介して脾臓に連結している こと, さらに肝臓自身も赤血球リザバーの一部と しての機能を果たしていること8)からも理解され よう. 一方、脾臓や肝臓と直接的な血管の連結を 持たない腎静脈の血液においてヘマトクリット値 が有意に高かったことは、 脾臓や肝臓と同様に腎 臓もまた赤血球リザバーとして機能しているか, あるいは血液を濃縮する機能があることを予想さ せる. すなわち,ひとつは尿産生であり,他のひ とつは腎でのリンパ産生の亢進13)である.しかし これらの影響を対照群, 摘牌群とも同等に受けて いるにもかかわらず両群に差をみとめた点につい ては今後の研究を必要としよう.

今回われわれは 赤血球分布に関して compartment analysis を行った結果から血液希釈は赤血球の急速循環領域を拡大せしめ、血流中赤血球混合はむしろ低下させたが、それには脾臓がかなりの割合で関与していることがみとめられた.

文 献

- Messmer, K.: Surgery under hemodilutionpost operative autoblood transfusion. Med. Postgrd. 15: 387~418, 1977.
- 2) 高折益彦:自己輸血. 第31回日本麻酔学会総会, 福岡,昭和59年4月5日.
- Murray, J. F., Escobar, E., Papaport, E.: Effects of blood viscosity on hemodynamic responses in acute normovolemic anemia. Am. J. Physiol. 216: 638~642, 1969.
- 4) 吉川秀康,山村秀夫,山口佳晴,小杉 功,岡田和夫,印南比呂志:臓器血流分布におよぼす血漿 代用剤による血液希釈の影響.臨床生理 5:442~447,1975.
- 5) 中條信義,小川泰樹,高折益彦:出血性ショック の治療と臓器血液量,臓器血流量変化.麻酔 27:1047~1052,1978.
- Akaike H.: Information theory and the statistical model identification. *Mathem. Biosci.* 9:37~47,1970.
- Bard, Y.: Non-linear parameter estimation. Academic Press, New York & London, 1974.
- Carneiro, J. J., Donald, D. E.: Blood reservoir function of dog spleen, liver, and intestine. Am. J. Physiol. 232: 67~72, 1977.
- Donald, D. E., Aarhus, L. L.: Active and passive release of blood from canine spleen and small intestine. Am. J. Physiol. 227: 1162~1172, 1974.
- 10) Cilento, E. V., McCuskey, R. S., Reilly, F. D., Meineke, H. A.: Compartment analysis of circulation of erythrocytes through the rat spleen. Am. J. Physiol. 239: 272~277, 1980.
- 11) 高折益彦: 低分子デキストラン. 臨床麻酔 **6**: 609 ~614, 1982.
- 12) Takaori, M., Safar, P., Galla, S.J.: Changes in body fluid compartments during hemodilution with hydroxyethyl starch and dextran 40. Arch. Surg. 100: 263~268, 1970.
- Bell, R.D., Lowsitisukdi, A.: Canine renal lymph formation during acute ECF expansion. Lymphology 16: 228~232, 1983.

Compartment analysis on distribution of erythrocytes in systemic circulation in dogs —effect of hemodilution—

Yano, Hirofumi Takaori, Masuhiko Kagiyama, Mitsuyasu Yosida, Hitoshi Fukui, Akira Fukutomi, Osamu

Department of Anesthesiology, Kawasaki Medical School 577 Matsushima, Kurashiki Okayama, 701-01

Abstract

Compartment analysis for distribution of $^{99m}T_{\rm c}$ labeled erythrpcytes following hemodilution was carried out in either splenectomized or non-splenectomized dogs.

The results obtained were as follows:

- 1) The distribution of the erythrocytes was analysed into three compartments, the second of which was mainly corresponded to that in the spleen.
- 2) Hemodilution caused an expansion of the volume of fast circulating compartment in the non-splenectomized dogs. In the splenectomized, however, none of significant change was noted.
- Hemodilution delayed an even distribution of the labeled erythrocytes in every three compartments. It was not effected by the splenectomy.

Key words: erythrocyte distribution compartment analysis hemodilution splenectomy

(原稿受付:昭59.8.13)